

- [11] Дубовский О. А. // ФТТ. 1973. Т. 15. № 1. С. 205—211.
 [12] Тоуозава Y. // Progr. Theor. Phys. (Kyoto). 1959. V. 22. N 3. P. 455—465.
 [13] Дубовский О. А., Орлов А. В. // ФТТ. 1988. Т. 30. № 6. С. 1688—1698.
 [14] Градштейн И. С., Рыжик И. М. Таблицы интегралов, сумм, рядов и производств. М.: Физматгиз, 1963.

Поступило в Редакцию
22 марта 1989 г.

УДК 538.222 : 538.113.092 : 546.657

Физика твердого тела, том 31, в. 10, 1989

Solid State Physics, vol. 31, N 10, 1989

ИНВЕРСИЯ СОСТОЯНИЙ И СПИН-РЕШЕТОЧНАЯ РЕЛАКСАЦИЯ ИОНА ЦЕРИЯ В ЭТИЛСУЛЬФАТЕ ЛАНТАНА ПРИ ВЫСОКИХ ДАВЛЕНИЯХ

И. М. Крыгин, Г. Н. Нейло, А. Д. Прохоров

Ион церия в решетке этилсульфата лантана (ЭТС La) обладает редко встречающейся системой энергетических уровней, состоящей из двух близко расположенных крамерсовых дублетов [1]. В [2, 3] было показано, что энергетический интервал между основным и ближайшим возбужденным дублетами чувствителен к давлению и может как увеличиваться [2], так и уменьшаться [3]. Для данного иона в рассматриваемой матрице уменьшение энергетического интервала Δ_1 с ростом давления должно при-

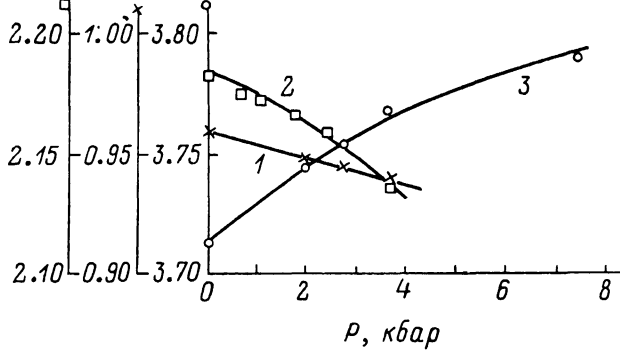


Рис. 1. Изменение g -факторов дублетов $|\pm 5/2\rangle$ и $|\pm 1/2\rangle$ от давления.

водить к уникальной ситуации: искусственному вырождению энергетических уровней (при $\Delta_1=0$) и их инверсии при дальнейшем увеличении давления. Такая тенденция поведения Δ_1 от давления до 15 МПа была обнаружена в [4]. Сведения об энергетическом спектре трехвалентного церия в исследуемом кристалле необходимы также для установления природы спин-спинового взаимодействия между ионами церия, имеющего в данном кристалле ряд особенностей [5].

Кристаллическое поле ЭТС La с симметрией C_{3h} расщепляет основной мультиплет иона $\text{Cl}^{3+}-^2F_{5/2}$ на три крамерсовых дублета: $|\pm 1/2\rangle$, $|\pm 3/2\rangle$, $|\pm 5/2\rangle$. Исследования магнитной восприимчивости и спектра ЭПР при атмосферном давлении однозначно указывают на то, что магнитные свойства иона определяются дублетом $|\pm 1/2\rangle$, который является основным и отделен от ближайшего по энергии возбужденного дублета $|\pm 5/2\rangle$ энергетическим расстоянием $\Delta_1=2 \text{ см}^{-1}$ [1]. Дублет $|\pm 3/2\rangle$ расположен еще выше $\Delta_2\approx 80 \text{ см}^{-1}$ и заметного влияния на магнитные свойства при низких температурах не оказывает.

Для проведения измерений под давлением использовался сосуд высокого давления типа цилиндр—поршень с керосиномасляной средой. На рис. 1 изображено поведение g_{\parallel} (1, 3) и g_{\perp} (2) для дублетов $|\pm 1/2\rangle$ (1, 2) и $|\pm 5/2\rangle$ (3) при всестороннем сжатии. Выше давления $P \approx 70$ МПа интенсивность линии поглощения дублета $|\pm 1/2\rangle$, основного при атмосферном давлении, падает, и при $P \approx 0.4$ ГПа линия становится ненаблюдаемой. Такое поведение интенсивности можно объяснить инвертированием уровней, в результате чего основным становится дублет $|\pm 5/2\rangle$. Энергия состояния $|\pm 1/2\rangle$ с ростом давления увеличивается, что приводит к уменьшению заселенности и падению интенсивности.

Для определения величины начального расщепления в работе [1] исследовались междублетные переходы. Однако в данном случае из-за неизотропности среды эти линии уширяются и под давлением не наблюдаются. В той же работе показано, что при атмосферном давлении спин-решеточная релаксация (СРР) Cl^{3+} : ЭТС La описывается процессом Орбаха—Аминова

$$T_1^{-1} = B \exp(-\Delta_1/kT)$$

с небольшой примесью комбинационных процессов. Так как наличие этого механизма позволяет извлекать информацию о Δ_1 из температурной зависимости скорости СРР, были проведены аналогичные измерения при всестороннем сжатии.

Исследования проводились в ориентации $H_0 \parallel Z$ на частоте 9.3 ГГц методом импульсного насыщения по методике, описанной в [5].

Возможно, из-за недостаточной мощности клистрона, позволяющего насыщать линию ЭПР с временами релаксации не менее 10^{-5} с, насыщение линии, принадлежащей переходу внутри дублета $|\pm 5/2\rangle$, происходит

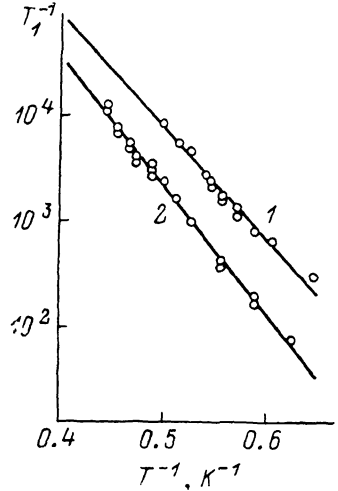


Рис. 2. Температурная зависимость скорости спин-решеточной релаксации иона Cl^{3+} в этилсульфате лантана при давлениях 6.8 ($\Delta_1 = 16.3 \text{ см}^{-1}$) и 8.7 кбар ($\Delta_1 = 19.3 \text{ см}^{-1}$) в инвертированном состоянии, когда $H_0 \parallel C_3$.

только при $P \approx 0.6$ ГПа. На рис. 2 приведены температурные зависимости скорости спин-решеточной релаксации для давлений 0.68 (1) и 0.87 ГПа (2). Полученные результаты хорошо описываются процессом Орбаха—Аминова. Наклон прямых, соединяющих экспериментальные точки, определяет расстояние до возбужденного дублета. Из эксперимента следует, что скорость изменения междублетного расстояния $\partial\Delta_1/\partial P = 16 \text{ см}^{-1}/\text{ГПа}$, что близко к значению $\partial\Delta_1/\partial P = 12 \text{ см}^{-1}/\text{ГПа}$, полученному для ЭТС Eu и ЭТС Y [2]. Экспериментальные значения коэффициента B равны 1.23×10^9 и $2.5 \cdot 10^9 \text{ с}^{-1}$ при давлениях 0.68 и 0.87 ГПа соответственно, что близко к величинам, полученным при изучении ЭТС Y [2]. Это говорит о том, что спин-фононное взаимодействие имеет одну природу для обеих матриц и определяется в основном расстоянием до возбужденного дублета.

Скорость изменения энергетического интервала между дублетами, полученная в [4] для малых (< 20 МПа) давлений, составляет $\partial\Delta_1/\partial P = 28 \text{ см}^{-1}/\text{ГПа}$ и отличается от результатов, полученных в данной работе. Такое различие, возможно, связано с величиной междублетного расщепления. Когда Δ_1 почти равно нулю, то система близка к вырожденному состоянию, более чувствительному, по всей видимости, к деформациям, чем сильно расщепленное.

В [6] приведено выражение, связывающее величину g -фактора с параметрами фононного спектра. С использованием экспериментальных зна-

чений входящих в него величин, проведя минимизацию зависимости g от давления, получено, что наибольший вклад в уменьшение g относительно теоретических значений, полученных в модели статического кристаллического поля, вносят фононы с частотами $\approx 110 \text{ см}^{-1}$, что хорошо согласуется с аналогичными расчетами, полученными в [2].

Таким образом, в данной работе наблюдалась уникальная ситуация, связанная с пересечением энергетических уровней под давлением, что должно вызывать существенное изменение магнитных свойств этого соединения.

Список литературы

- [1] Kargin I. M., Lukin S. N., Neilo G. N., Prokhorov A. D. // Phys. St. Sol. (b). 1981. V. 104. N 1. P. K21—K25.
- [2] Крыгин И. М., Нейло Г. Н., Прохоров А. Д. // ЖЭТФ. 1983. Т. 84. № 6. С. 2242—2250.
- [3] Neilo G. N., Prokhorov A. D., Tsintsadze G. A. // Phys. St. Sol. (b). 1977. V. 83. N 1. P. K59—K61.
- [4] Крыгин И. М., Лукин С. Н., Прохоров А. Д. // ФНТ. 1984. Т. 10. № 5. С. 499—502.
- [5] Крыгин И. М., Прохоров А. Д. // ЖЭТФ. 1984. Т. 86. № 2. С. 590—596.
- [6] Baggaley D. M. S., Vella—Coleiro G. // J. Phys. C: Sol. St. Phys. 1969. Ser. 2. V. 2. P. 2310—2319.

Донецкий физико-технический
институт АН УССР
Донецк

Поступило в Редакцию
4 апреля 1989 г.

УДК 548.571

Физика твердого тела, том 31, в. 10, 1989
Solid State Physics, vol. 31, № 10, 1989

ЧИСЛЕННОЕ МОДЕЛИРОВАНИЕ ОБРАЗОВАНИЯ АТОМНЫХ ДЕФЕКТОВ ПО МЕХАНИЗМУ ВАРЛИ В ИОННЫХ КРИСТАЛЛАХ

B. B. Алексеенко, B. I. Якобсон

При взаимодействии ионизирующих излучений небольших энергий с твердыми телами основная доля их энергии идет не на процессы упругого смещения атомов, а на возбуждение электронной подсистемы кристалла [1]. Распад локализованных электронных возбуждений может приводить к образованию атомных дефектов. Одним из механизмов превращения энергии электронного возбуждения в образование атомных дефектов является механизм Варли [2]. До настоящего времени была выполнена единственная работа по численному моделированию этого в кристалле KCl [3], где полагалось, что размер катионов и анионов одинаков. Но в ряде кристаллов со структурой типа NaCl размер катионов почти в два раза меньше размера аниона [4]. Как показали наши исследования, этот факт имеет большое значение для атомного дефектообразования.

Расчеты проводились для системы $9 \times 9 \times 9$ ионов, размещенных в узлах решетки с элементарной ячейкой типа NaCl. Границные атомы жестко закреплялись. Потенциал межатомного взаимодействия выбирался в виде

$$U(R_{ij}) = \frac{e_i e_j}{R_{ij}} + C \frac{(\sigma_i + \sigma_j)^{12}}{R_{ij}^{12}}, \quad (1)$$

где e_i — заряд i -го иона, σ_i — его размер, R_{ij} — расстояние между ионами i и j . Выражение (1) удобно переписать в виде

$$U(r_{ij}) = \frac{\alpha_i \alpha_j}{r_{ij}} + P \left(\frac{\sigma_i + \sigma_j}{\sigma_+ + \sigma_-} \right)^{12} \frac{1}{r_{ij}^{12}}, \quad (2)$$